chapitre 3

CINEMATIQUE AVANT : LE DENAVIT-HARTENBERG CONVENTION

Dans ce chapitre, nous développons les équations cinématiques directes ou de configuration pour les robots rigides. Le problème de cinématique avant concerne la relation entre les articulations individuelles du robot manipulateur et la position et l'orientation de l'outil ou de l'effecteur terminal. Formulé plus formellement, le problème de cinématique avant consiste à déterminer la position et l'orientation de l'effecteur final, compte tenu des valeurs des variables articulaires du robot. Les variables articulaires sont les angles entre les liaisons dans le cas des liaisons rotoïdes ou rotatives, et l'extension des liaisons dans le cas des liaisons prismatiques ou coulissantes. Le problème de la cinématique directe doit être mis en contraste avec le problème de la cinématique inverse, qui sera étudié dans le chapitre suivant, et qui concerne la détermination des valeurs des variables articulaires qui permettent d'obtenir une position et une orientation souhaitées pour l'effecteur final du robot.

3.1 Chaînes cinématiques

Comme décrit au chapitre 1, un robot manipulateur est composé d'un ensemble de liaisons reliées entre elles par diverses articulations. Les articulations peuvent être soit très simples, comme une articulation rotoïde ou une articulation prismatique, soit plus complexes, comme une rotule. (Rappelez-vous qu'une articulation rotoïde est comme

une charnière et permet une rotation relative autour d'un seul axe, et une articulation prismatique permet un mouvement linéaire le long d'un seul axe, à savoir une extension ou une rétraction.) La différence entre les deux situations est que, dans le premier cas, l'articulation n'a que un seul degré de liberté de mouvement : l'angle de rotation dans le cas d'une articulation rotoïde et la quantité de déplacement linéaire dans le cas d'une articulation prismatique. En revanche, une articulation à rotule a deux degrés de liberté. Dans ce livre, il est supposé que toutes les articulations n'ont qu'un seul degré de liberté. Notez que l'hypothèse n'implique aucune perte réelle de généralité, puisque des articulations telles qu'une rotule (deux degrés de liberté) ou un poignet sphérique (trois degrés de liberté) peuvent toujours être considérées comme une succession de liaisons à un seul degré de liberté avec des liaisons de longueur nulle entre elles.

En supposant que chaque articulation a un seul degré de liberté, l'action de chaque articulation peut être décrite par un seul nombre réel : l'angle de rotation dans le cas d'une articulation rotoïde ou le déplacement dans le cas d'une articulation prismatique. . L'objectif de l'analyse cinématique directe est de déterminer l' effet cumulatif de l'ensemble des variables articulaires. Dans ce chapitre, nous allons développer un ensemble de conventions qui fournissent une procédure systématique pour effectuer cette analyse. Il est bien sûr possible d'effectuer une analyse cinématique directe même sans respecter ces conventions, comme nous l'avons fait pour l'exemple du manipulateur planaire à deux liens au chapitre 1. Cependant, l'analyse cinématique d'un manipulateur à n liens peut être extrêmement complexe et les conventions introduites ci-dessous simplifient considérablement l'analyse. De plus, ils donnent naissance à un langage universel avec lequel les robots ingénieurs peuvent communiquer.

Un robot manipulateur à n articulations aura n + 1 liens, puisque chaque articulation relie deux liens. On numérote les articulations de 1 à n, et on numérote les liens de 0 à n, en partant de la base. Par cette convention, l'articulation i relie le lien i - 1 au lien i. Nous considérerons que l'emplacement de l'articulation i est fixe par rapport au maillon i - 1. Lorsque l'articulation i est actionnée, le maillon i se déplace. Par conséquent, le maillon 0 (le premier maillon) est fixe et ne bouge pas lorsque les articulations sont actionnées. Bien sûr, le robot manipulateur pourrait lui-même être mobile (par exemple, il pourrait être monté sur une plate-forme mobile ou sur un véhicule autonome), mais nous ne traiterons pas ce cas dans le présent chapitre, car il peut être manipulé facilement en étendant légèrement les techniques présenté ici.

Avec le je conjointe, on associe une variable conjointe, notée qi . Dans le cas d'un joint rotoïde, qi est l'angle de rotation, et dans le cas d'un

3.1. CHAÎNES CINÉMATIQUES

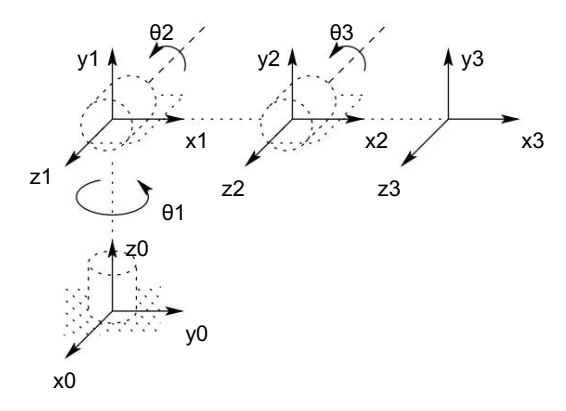


Figure 3.1 : Cadres de coordonnées attachés au manipulateur coudé.

articulation prismatique, qi est le déplacement de l'articulation :

Pour effectuer l'analyse cinématique, nous attachons de manière rigide un cadre de coordonnées à chaque lien. En particulier, nous attachons oixiyizi au lien i. Cela signifie que, quel que soit le mouvement exécuté par le robot, les coordonnées de chaque point sur le lien i sont constantes lorsqu'elles sont exprimées dans le cadre de coordonnées i. De plus, lorsque l'articulation i est actionnée, le lien i et son cadre attaché, oixiyizi , subissent un mouvement résultant. Le cadre o0x0y0z0, qui est fixé à la base du robot, est appelé cadre inertiel. La figure 3.1 illustre l'idée de fixer rigidement les cadres aux liens dans le cas d'un manipulateur coudé.

Supposons maintenant que Ai soit la matrice de transformation homogène qui exprime la position et l'orientation de oixiyizi par rapport à oi-1xi-1yi-1zi-1. La matrice Ai n'est pas constante, mais varie au fur et à mesure que la configuration du robot est modifiée. Cependant, l'hypothèse que toutes les articulations sont soit révolutées soit prismatiques signifie que Ai est une fonction d'une seule variable articulaire, à savoir qi . Autrement dit,

$$Ai = Ai(qi). (3.2)$$

Or la matrice de transformation homogène qui exprime la position et l'orientation de ojxjyjzj par rapport à oixiyizi est appelée, par convention, une matrice de transformation, et est notée T j . Dès le chapitre 2, nous voyons que

73

$$J_{j}^{*} = je \ si \ je = j$$
 $J_{j}^{*} = (T_{j}^{j})^{-1} \ si \ j > i.$
(3.3)

Par la manière dont nous avons fixé rigidement les différents cadres aux liens correspondants, il s'ensuit que la position de tout point sur le l'effecteur terminal, lorsqu'il est exprimé dans le cadre n, est une constante indépendante de la paramétrage du robot. Dénoter la position et l'orientation de l'effecteur terminal par rapport au référentiel inertiel ou de base par un triple vecteur O0 (qui donne les coordonnées de l'origine du cadre effecteur avec par rapport au repère de base) et la matrice de rotation 3 × 3 R0, et définir le matrice de transformation homogène

$$H = \begin{array}{ccc} {}^{R0}{}_{n} & {}^{O0}{}_{n} & . & (3.4) \end{array}$$

Puis la position et l'orientation de l'effecteur dans le référentiel inertiel sont donnés par

$$H = T$$
 $\int_{n}^{0} = A1(q1) \cdot \cdot \cdot An(qn).$ (3.5)

Chaque transformation homogène Ai est de la forme

$$Ai = \begin{pmatrix} Ri - \frac{1}{p} & O_{p}^{i-1} \\ 0 & 1 \end{pmatrix}$$
 (3.6)

Ainsi

$$J_{j} = Ai+1 \cdot \cdot \cdot Aj = \begin{pmatrix} Ri & j & Oi \\ 0 & 1 \end{pmatrix}$$
 (3.7)

La matrice Ri exprime l'orientation de ojxjyjzj par rapport à oixiyizi et est donné par les parties de rotation des matrices A comme

$$R_{j}^{*} = R_{je+1}^{*} \cdots R_{j}^{j-1}.$$
 (3.8)

Les vecteurs de coordonnées Oi sont donnés récursivement par la formule

$$O_{j}^{*} = O_{j-1}^{*} + R_{j-10}^{*} j_{,}^{-1}$$
 (3.9)

Ces expressions seront utiles au chapitre 5 lorsque nous étudierons les matrices jacobiennes.

En principe, il n'y a que ça pour avancer la cinématique! Détermine le fonctions Ai(qi), et multipliez-les au besoin. Cependant, il est possible d'obtenir une rationalisation et une simplification considérables en introduire d'autres conventions, telles que la représentation de Denavit-Hartenberg d'une articulation, et c'est l'objectif du reste du chapitre.

3.2 Représentation de Denavit Hartenberg

S'il est possible de réaliser l'ensemble de l'analyse de ce chapitre en utilisant un cadre arbitraire attaché à chaque lien, il est utile d'être systématique dans le choix de ces cadres. Une convention couramment utilisée pour sélectionner des cadres de référence dans des applications robotiques est la convention Denavit-Hartenberg, ou DH. Dans cette convention, chaque transformation homogène Ai est représentée comme un produit de quatre transformations de base

où les quatre grandeurs θi di αi sent des paramètres associés au lien i et à l'articulation i. Les quatre paramètres ai ,αi ,di et θi dans (3.10) reçoivent généralement respectivement les noms de longueur de lien, de torsion de lien, de décalage de lien et d'angle d'articulation. Ces noms dérivent d'aspects spécifiques de la relation géométrique entre deux cadres de coordonnées, comme cela apparaîtra ci-dessous. Puisque la matrice Ai est une fonction d'une seule variable, il s'avère que trois des quatre quantités ci-dessus sont constantes pour un lien donné, tandis que le quatrième paramètre, θi pour une articulation rotoïde et di pour une articulation prismatique, est la variable conjointe .

D'après le chapitre 2, on peut voir qu'une matrice de transformation homogène arbitraire peut être caractérisée par six nombres, comme, par exemple, trois nombres pour spécifier la quatrième colonne de la matrice et trois angles d'Euler pour spécifier la matrice de rotation supérieure gauche 3×3 . Dans la représentation DH, en revanche, il n'y a que quatre paramètres. Comment est-ce possible? La réponse est que, alors que le cadre i doit être attaché de manière rigide au lien i, nous avons une liberté considérable dans le choix de l'origine et des axes de coordonnées du cadre. Par exemple, il n'est pas nécessaire que l'origine, Oi , de la trame i soit placée à l'extrémité physique du lien i. En fait, il n'est même pas nécessaire que la trame i soit placée à l'intérieur du lien physique ; le cadre i pourrait se trouver dans l'espace libre - tant que le cadre i est rigidement attaché au lien i.

Par un choix judicieux de l'origine et des axes de coordonnées, il est possible de réduire le nombre de paramètres

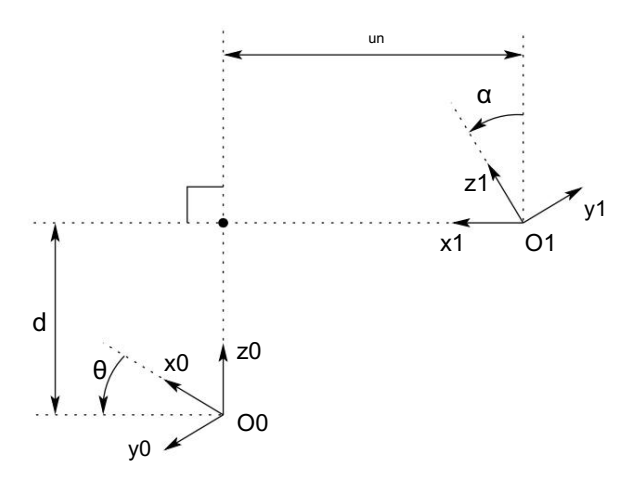


Figure 3.2 : Cadres de coordonnées vérifiant les hypothèses DH1 et DH2.

nécessaire de six à quatre (ou même moins dans certains cas). Dans la section 3.2.1, nous montrerons pourquoi, et sous quelles conditions, cela peut être fait, et dans la section 3.2.2, nous montrerons exactement comment effectuer les affectations du cadre de coordonnées.

3.2.1 Problèmes d'existence et d'unicité

Il est clair qu'il n'est pas possible de représenter une transformation homogène arbitraire en utilisant seulement quatre paramètres. Par conséquent, nous commençons par déterminer quelles transformations homogènes peuvent être exprimées sous la forme (3.10). Supposons que nous disposions de deux trames, désignées par les trames 0 et 1, respectivement. Alors il existe une unique matrice de transformation homogène A qui prend les coordonnées du cadre 1 dans celles du cadre 0. Supposons maintenant que les deux cadres aient deux caractéristiques supplémentaires, à savoir :

(DH1) L'axe x1 est perpendiculaire à l'axe z0

(DH2) L'axe x1 coupe l'axe z0

comme le montre la figure 3.2. Dans ces conditions, on affirme qu'il existe des nombres uniques a, d, θ , α tels que

$$A = Rz, \theta Transz, d Transx, a Rx, \alpha. \tag{3.11}$$

Bien sûr, puisque θ et α sont des angles, nous voulons vraiment dire qu'ils sont uniques à un multiple de 2π près. Pour montrer que la matrice A peut s'écrire dans cette

77

forme, écrivez A comme

th et notons ri le i colonne de la matrice de rotation R0 1. Nous allons maintenant examiner les implications des deux contraintes DH.

Si (DH1) est satisfaite, alors x1 est perpendiculaire à z0 et on a $x1 \cdot z0 = 0$. En exprimant cette contrainte par rapport à 00x0y0z0, en utilisant le fait que r1 est la représentation du vecteur unitaire x1 par rapport au repère 0, on obtient

$$0 = x \qquad {}^{0}_{1} \cdot z^{0}_{0} \tag{3.13}$$

=
$$[r11,r21,r31]$$
 $\int \cdot [0, 0, 1]T$ (3.14)

Puisque r31 = 0, il suffit maintenant de montrer qu'il existe des angles uniques θ et α tel que

$$R_{1}^{0} = Rx, \theta Rx, \alpha = \begin{cases} c\theta - s\theta c\alpha s\theta s\alpha \\ s\theta c\theta c\alpha - c\theta s\alpha \\ 0 s\alpha \end{cases}$$
 (3.16)

La seule information dont nous disposons est que r31 = 0, mais cela suffit. D'abord, puisque chaque ligne et colonne de $R0_4$ doit avoir une longueur unitaire, r31 = 0 implique que

$$r_{11212}^2 + r^2 = 1,$$

 $r_{3233}^3 + r^2 = 1$ (3.17)

Il existe donc des uniques θ , α tels que

$$(r11,r21) = (c\theta,s\theta),$$
 $(r33,r32) = (c\alpha,s\alpha).$ (3.18)

Une fois que θ et α sont trouvés, il est courant de montrer que les éléments restants de R0 $_1$ doit avoir la forme montrée en (3.16), en utilisant le fait que R0 $_1$ est une rotation matrice.

Ensuite, l'hypothèse (DH2) signifie que le déplacement entre O0 et O1 peut être exprimé comme une combinaison linéaire des vecteurs z0 et x1. Ce peut s'écrire O1 = O0 + dz0 + ax1. Encore une fois, nous pouvons exprimer cette relation dans les coordonnées de o0x0y0z0, et nous obtenons

$$O_1^0 = O_0^0 + dzO_0^0 + axO_1$$
 (3.19)

En combinant les résultats ci-dessus, nous obtenons (3.10) tel que revendiqué. Ainsi, on voit que quatre paramètres suffisent pour spécifier toute transformation homogène qui satisfait les contraintes (DH1) et (DH2).

Maintenant que nous avons établi que chaque matrice de transformation homogène satisfaisant aux conditions (DH1) et (DH2) ci-dessus peut être représentée sous la forme (3.10), nous pouvons en fait donner une interprétation physique à chacune des quatre grandeurs de (3.10). Le paramètre a est la distance entre les axes z0 et z1, et est mesuré selon l'axe x1. L'angle α est l'angle entre les axes z0 et z1, mesuré dans un plan normal à x1. Le sens positif de α est déterminé de z0 à z1 par la règle de droite comme le montre la figure 3.3. Le paramètre d est la distance entre l'origine

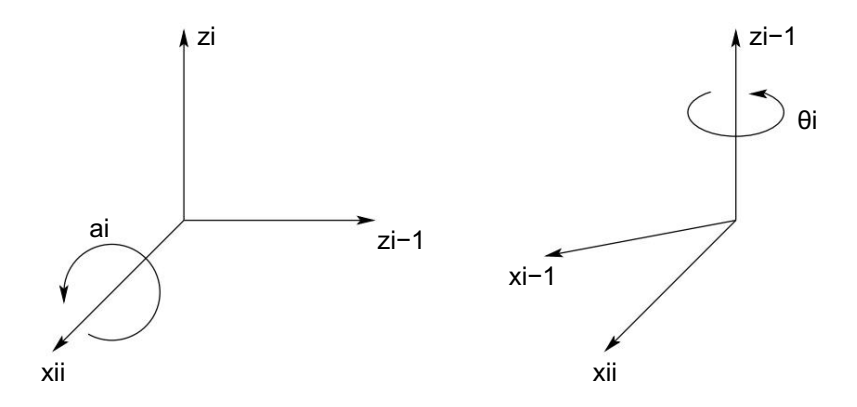


Figure 3.3 : Sens positif pour αi et θi .

O0 et l'intersection de l' axe x1 avec z0 mesurée le long de l' axe z0 .

Enfin, θ est l'angle entre x0 et x1 mesuré dans un plan normal à z0.

Ces interprétations physiques s'avéreront utiles pour développer une procédure d'attribution de repères de coordonnées satisfaisant les contraintes (DH1) et (DH2), et nous tournons maintenant notre attention vers le développement d'une telle procédure.

3.2.2 Affectation des cadres de coordonnées

Pour un robot manipulateur donné, on peut toujours choisir les repères 0,...,n de telle manière que les deux conditions ci-dessus soient satisfaites. Dans certaines circonstances, cela nécessitera de placer l'origine Oi de la trame i à un emplacement qui peut ne pas être intuitivement satisfaisant, mais ce ne sera généralement pas le cas. En lisant les informations ci-dessous, il est important de garder à l'esprit que les choix des différents cadres de coordonnées ne sont pas uniques, même lorsqu'ils sont contraints par les exigences ci-dessus. Ainsi, il est possible que différents ingénieurs dérivent des affectations de cadres de coordonnées différentes, mais tout aussi correctes, pour les liaisons du robot. Il est très important de noter, cependant, que le résultat final (c'est-à-dire les cadres de liaison intermédiaires de la matrice , sera le même, quelle que soit l'attribution de T (en supposant que les cadres de coordonnées pour le lien n coïncident). Nous commencerons par dériver la procédure générale. Nous discuterons ensuite de divers cas particuliers où il est possible de simplifier davantage la matrice de transformation homogène.

Pour commencer, notez que le choix de zi est arbitraire. En particulier, d'après (3.16), nous voyons qu'en choisissant α i et θ i de manière appropriée, nous pouvons obtenir n'importe quelle direction arbitraire pour zi . Ainsi, pour notre première étape, nous affectons les axes z_0, \ldots, z_{n-1} d'une manière intuitivement agréable. Plus précisément, nous attribuons à zi l'axe d'actionnement de l'articulation i+1. Ainsi, i=10 est l'axe d'actionnement de l'articulation i+11, ainsi, i=12 est l'axe d'actionnement de l'articulation i+13, a deux cas à considérer : (i) si l'articulation i+14 est de révolution, i=15 est l'axe de révolution de l'articulation i+15, (ii) si l'articulation i+16 est prismatique, i=18 est l'axe de translation de l'articulation i+18. Au début, il peut sembler un peu déroutant d'associer zi à l'articulation i+19, mais rappelez-vous que cela satisfait la convention que nous avons établie dans la section i=19, à savoir que l'articulation i=11, attribute i=11, attribute i=11, attribute i=11, attribute i=12, attribute i=13, attribute i=14, attribute i=14, attribute i=14, attribute i=15, attribute

Une fois que nous avons établi les axes z pour les liens, nous établissons le cadre de base. Le choix d'un cadre de base est presque arbitraire. Nous pouvons choisir l'origine O0 du repère de base comme étant n'importe quel point sur z0. Nous choisissons ensuite x0, y0 de n'importe quelle manière pratique tant que le cadre résultant est droitier. Ceci configure l'image 0.

Une fois le cadre 0 établi, nous commençons un processus itératif dans lequel nous définissons le cadre i en utilisant le cadre i – 1, en commençant par le cadre 1. La figure 3.4 sera utile pour comprendre le processus que nous décrivons maintenant.

Pour établir le repère i il faut considérer trois cas : (i) les axes zi-1, zi ne sont pas coplanaires, (ii) les axes zi-1, zi se coupent (iii) les axes zi-1, zi sont parallèles. Notons que dans les deux cas (ii) et (iii) les axes zi-1 et zi sont coplanaires. Cette situation est en fait assez courante, comme nous le verrons dans

Figure 3.4 : Affectation de la trame de Denavit-Hartenberg.

Article 3.3. Considérons maintenant chacun de ces trois cas.

- (i) zi-1 et zi ne sont pas coplanaires : si zi-l et zi ne sont pas coplanaires, alors il existe un segment de droite unique perpendiculaire à la fois à zi-1 et zi tel qu'il relie les deux droites et qu'il ait une longueur minimale. La droite contenant cette normale commune à zi-1 et zi définit xi et le point où cette droite coupe zi est l'origine Oi . Par construction, les deux conditions (DH1) et (DH2) sont satisfaites et le vecteur de Oi-1 à Oi est une combinaison linéaire de zi-1 et xi . La spécification du repère i est complétée en choisissant l'axe yi pour former un repère de droite. Les hypothèses (DH1) et (DH2) étant satisfaites, la matrice de transformation homogène Ai est de la forme (3.10).
- (ii) zi-1 est parallèle à zi : Si les axes zi-1 et zi sont parallèles, alors il y a une infinité de normales communes entre eux et la condition (DH1) ne spécifie pas complètement xi . Dans ce cas, nous sommes libres de choisir l'origine Oi n'importe où le long de zi . On choisit souvent Oi pour simplifier les équations résultantes. L'axe xi est alors choisi soit dirigé de Oi vers zi-1, selon la normale commune, soit

comme l'opposé de ce vecteur. Une méthode courante pour choisir Oi est de choisir la normale qui passe par Oi–1 comme axe xi; Oi est alors le point d'intersection de cette normale avec zi. Dans ce cas, di serait égal à zéro. Une fois xi fixé, yi est déterminé, comme d'habitude par la règle de la main droite. Les axes zi–1 et zi étant parallèles, αi sera nul dans ce cas.

(iii) zi-1 coupe zi : Dans ce cas xi est choisi normal au plan formé par zi et zi-1. La direction positive de xi est arbitraire. Le plus

le choix naturel pour l'origine Oi est dans ce cas au point d'intersection de zi et zi-1. Cependant, tout point commode le long de l'axe zi suffit. Notez que dans ce cas, le paramètre ai est égal à 0.

Cette procédure constructive fonctionne pour les trames $0, \dots, n-1$ dans un robot à n liens. Pour terminer la construction, il est nécessaire de spécifier le cadre n. Le système de coordonnées final onxnynzn est communément appelé effecteur final ou cadre d'outil (voir Figure 3.5). L'origine On est le plus souvent

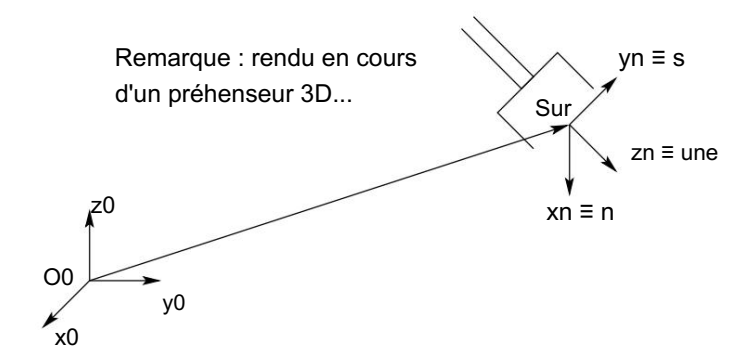


Figure 3.5 : Affectation du référentiel d'outils.

placés symétriquement entre les doigts de la pince. Les vecteurs unitaires le long des axes xn, yn et zn sont étiquetés respectivement n, s et a. La terminologie provient du fait que la direction a est la direction d'approche, en ce sens que le préhenseur s'approche typiquement d'un objet le long de la direction a . De même la direction s est la direction de coulissement, la direction selon laquelle les doigts de la pince coulissent pour s'ouvrir et se fermer, et n est la direction normale au plan formé par a et s.

Dans les robots contemporains, le mouvement articulaire final est une rotation de l'effecteur terminal de θ n et les deux derniers axes articulaires, zn-1 et zn, coïncident. Dans ce cas, la transformation entre les deux derniers référentiels est une translation selon zn-1 d'une distance dn suivie (ou précédée) d'une rotation de θ n radians autour de zn-1. C'est une observation importante qui simplifiera le calcul de la cinématique inverse dans le chapitre suivant.

Enfin, notez le fait important suivant. Dans tous les cas, que l'articulation considérée soit rotoïde ou prismatique, les grandeurs ai et α i sont toujours constantes pour tout i et sont caractéristiques du manipulateur. Si l'articulation i est prismatique, alors θ i est aussi une constante, tandis que di est le i si l'articulation i est révolute, alors di est variable conjointe. De la même manière, constant et θ i est le i

3.2.3 Résumé

Nous pouvons résumer la procédure ci-dessus basée sur la convention DH dans l'algorithme suivant pour dériver la cinématique avant pour tout manipulateur.

- Étape I : Localisez et étiquetez les axes d'articulation z0,...,zn-1.
- Étape 2 : Établissez le cadre de base. Définissez l'origine n'importe où sur l' axe z0. Les axes x0 et y0 sont choisis commodément pour former un cadre de droite.

Pour i = 1,...,n - 1, effectuez les étapes 3 à 5.

- Étape 3 : Localisez l'origine Oi où la normale commune à zi et zi-1 coupe zi . Si zi intersecte zi-1 localisez Oi à cette intersection. Si zi et zi-1 sont parallèles, placez Oi dans n'importe quelle position pratique le long de zi .
- Étape 4 : Établir xi le long de la normale commune entre zi-1 et zi à travers ou dans la direction Oi , normale au plan zi-1 - zi si zi-1 et zi se croisent.
- Étape 5 : Établissez yi pour compléter un cadre de droite.
- Étape 6 : Établir le cadre de l'effecteur terminal onxnynzn. En supposant que la n-ième articulation est rotoïde, posons zn = a le long de la direction zn-1. Établissez l'origine On commodément le long de zn, de préférence au centre de la pince ou à l'extrémité de tout outil que le manipulateur peut porter. Définir yn = s dans le sens de la fermeture de la pince et définir xn = n comme s × a. Si l'outil n'est pas un simple préhenseur, placez xn et yn de manière pratique pour former un cadre à droite.
- Étape 7 : Créer un tableau des paramètres de lien ai , di , ai , θi .
 - ai = distance le long de xi de Oi à l'intersection de xi et zi-1 axes.
 - di = distance selon zi-1 de Oi-1 à l'intersection des axes xi et zi-1 . di est variable si l'articulation i est prismatique. αi = l'angle entre zi-1 et zi

mesuré autour de xi (voir Figure

3.3).

- θi = l'angle entre xi-1 et xi mesuré autour de zi-1 (voir Figure 3.3). θi est variable si l'articulation i est rotoïde.
- Étape 8 : Former les matrices de transformation homogènes Ai en substituant les paramètres cidessus dans (3.10).

3.3. EXEMPLES 83

Étape 9 : Formulaire $T_n^0 = A1 \cdots An$. Cela donne alors la position et l'orientation du repère de l'outil exprimé en coordonnées de base.

3.3 Exemples

Dans la convention DH le seul angle variable est θ , donc on simplifie la notation en écrivant ci pour cos θ i etc. On note aussi $\theta 1 + \theta 2$ par $\theta 12$, et $\cos(\theta 1 + \theta 2)$ par c12, et ainsi de suite. Dans les exemples suivants, il est important de rappeler que la convention DH, bien que systématique, laisse encore une liberté considérable dans le choix de certains des paramètres du manipulateur. Ceci est particulièrement vrai dans le cas d'axes d'articulation parallèles ou lorsqu'il s'agit d'articulations prismatiques.

Exemple 3.1 Manipulateur de coude planaire

Considérez le bras planaire à deux liaisons de la figure 3.6. Les axes articulaires z0 et

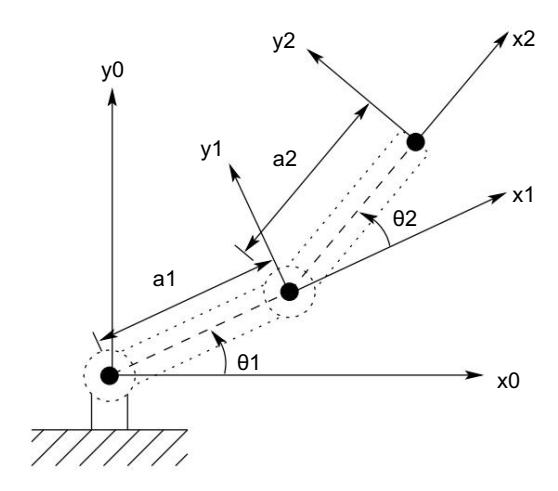


Figure 3.6 : Manipulateur planaire à deux liaisons. Les axes z pointent tous hors de la page et ne sont pas représentés sur la figure.

z1 sont normaux à la page. Nous établissons le cadre de base o0x0y0z0 comme indiqué. L'origine est choisie au point d'intersection de l' axe z0 avec la page et la direction de l' axe x0 est totalement arbitraire. Une fois la trame de base établie, la trame o1x1y1z1 est fixée comme le montre la convention DH, où l'origine O1 a été située à l'intersection de z1 et de la page.

La trame finale o2x2y2z2 est fixée en choisissant l'origine O2 à la fin du lien 2 comme indiqué. Les paramètres de liaison sont indiqués dans le Tableau 3.1. Les matrices A sont

Tableau 3.1 : Paramètres de liaison pour le manipulateur planaire à 2 liaisons.

Lien a	i αi di θi	
1	a1006	1
2	a2 0 0 6) 2

variable

déterminé à partir de (3.10) comme

$$C1 - S1 \ 0 \ a1C1$$

$$S1 \ C1 \qquad 0 \ a1S1$$

$$0 \ 0 \qquad dix$$

$$0 \quad 0 \qquad 0 \qquad 1$$

$$(3.22)$$

c2 -s2 0 a2c2

$$A2 = \begin{cases} s2 c2 & 0 a2s2 \\ 0 0 & dix \\ 0 & 0 & 0 & 1 \end{cases}$$
 (3.23)

Les matrices T sont donc données par

$$J_1^0 = A1.$$
 (3.24)

$$J_{2}^{0} = A1A2 = \begin{array}{c} c12 - s12 \ 0 \ a1c1 + a2c12 \\ s12 \ c12 & 0 \ a1s1 + a2s12 \\ 0 & 0 & 1 & 0 \\ 0 & 0 & 0 & 1 \\ \end{array}$$
 (3.25)

Notez que les deux premières entrées de la dernière colonne de T_2^0 sont les x et y composants de l'origine O2 dans le cadre de base ; c'est,

$$x = a1c1 + a2c12$$
 (3.26)
 $y = a1s1 + a2s12$

sont les coordonnées de l'effecteur terminal dans le repère de base. La partie tournante de T_2^0 donne l'orientation du repère o2x2y2z2 par rapport au repère de base.

Exemple 3.2 Robot cylindrique à trois maillons

Considérons maintenant le robot cylindrique à trois maillons représenté symboliquement par Illustration 3.7. Nous établissons O0 comme indiqué à l'articulation 1. Notez que le placement de

3.3. EXEMPLES 85

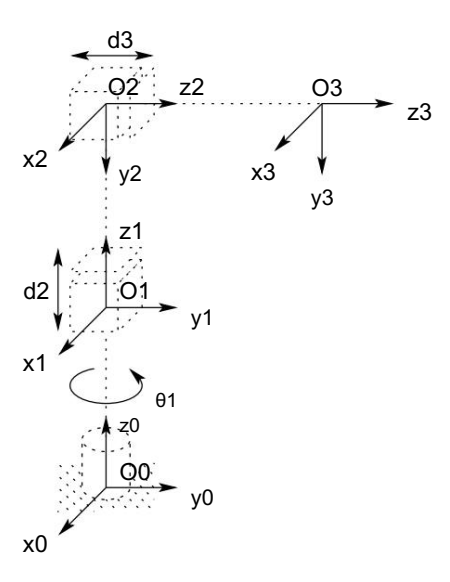


Figure 3.7: Manipulateur cylindrique à trois maillons.

Tableau 3.2 : Paramètres de liaison pour le manipulateur cylindrique à 3 liaisons.

Lien ai	αί 0 0		di θ	i
1			d1 6	1
2	0 -	90 j 0	2	0
3		0 j	3	0
variable				

l'origine O0 suivant z0 ainsi que la direction de l' axe x0 sont arbitraires.

Notre choix de O0 est le plus naturel, mais O0 pourrait tout aussi bien être placé à l'articulation 2. L'axe x0 est choisi normal à la page. Ensuite, puisque z0 et z1 coïncident, l'origine O1 est choisie à l'articulation 1 comme indiqué. L' axe x1 est normal à la page lorsque θ 1 = 0 mais, bien sûr, sa direction changera puisque θ 1 est variable. Puisque z2 et z1 se coupent, l'origine O2 est placée à cette intersection. La direction de x2 est choisie parallèle à x1 pour que θ 2 soit nul.

Enfin, le troisième cadre est choisi à la fin du lien 3 comme indiqué.

Les paramètres de liaison sont maintenant affichés dans le Tableau 3.2. Le A correspondant

et les matrices T sont

$$A1 = \begin{array}{c} c1 - s1 \ 0 \ 0 \ s1 \\ c1 \ 0 \ 0 \ 0 \ 1 \ d1 \\ 00 \ 0 \ 1 \end{array} \qquad (3.27)$$

$$A2 = \begin{array}{c} 10 \ 0 \ 0 \\ 00 \ 1 \ 0 \\ 0 - 1 \ 0 \ d2 \ 0 \ 0 \\ 01 \ 1 \ 0 \ 0 \\ 00 \ 1 \ d3 \ 0 \ 0 \\ 01 \ \end{array}$$

$$A3 = \begin{array}{c} c1 \ 0 - s1 - s1 \ d3 \ 0 \\ s1 \ c1 \ d3 \ d1 + d2 \ 1 \\ 0 - 1 \ 0 \\ 0 \ 0 \ 0 \end{array} \qquad (3.28)$$

Exemple 3.3 Poignet sphérique

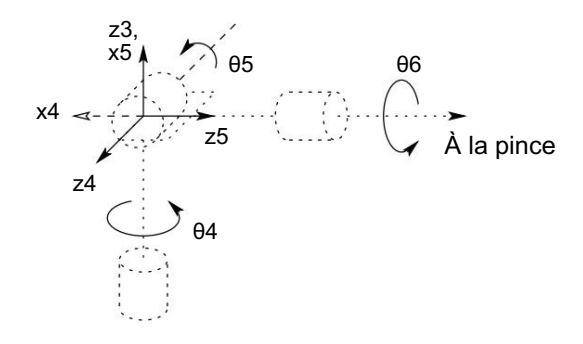


Figure 3.8 : L'affectation du cadre de poignet sphérique.

La configuration sphérique du poignet est illustrée à la figure 3.8, dans laquelle les axes articulaires z3, z4, z5 se coupent en O. Les paramètres de Denavit-Hartenberg sont indiqués au tableau 3.3. Le manipulateur de Stanford est un exemple de manipulateur possédant un poignet de ce type. En fait, l'analyse suivante s'applique à pratiquement tous les poignets sphériques.

3.3. EXEMPLES 87

Tableau 3.3 : Paramètres DH pour poignet sphérique.

Lien a	i αi d	θί 0 –9	90 O E)
4				4
5	0.9	000	0	5
6		0	d6 6	6
variable				

Nous montrons maintenant que les trois dernières variables conjointes, θ 4, θ 5, θ 6 sont les angles d'Euler ϕ , θ , ψ , respectivement, par rapport au cadre de coordonnées o3x3y3z3. Pour le voir, il suffit de calculer les matrices A4, A5 et A6 à l'aide du tableau 3.3 et de l'expression (3.10). Cela donne

$$A4 = \begin{pmatrix} c4 & 0 & -s4 & 0 & s4 & 0 \\ c4 & 0 & 0 & -1 & 0 & 0 \\ 0 & 0 & 0 & 1 \\ c5 & 0 & s5 & s5 & 0 & 0 \\ -c5 & 0 & 0 & -1 & 0 & 0 \\ 0 & 0 & 0 & 1 & 0 \\ c6 & -s6 & 0 & 0 & s6 \\ c6 & 0 & 0 & 0 & 1 & d6 \\ 0 & 0 & 0 & 1 & 0 \\ \end{pmatrix}$$

$$A6 = \begin{pmatrix} c4 & 0 & -s4 & 0 & s4 & 0 \\ -c5 & 0 & s5 & s5 & 0 & 0 \\ -c5 & 0 & 0 & -1 & 0 & 0 \\ 0 & 0 & 0 & 1 & 0 & 0 \\ 0 & 0 & 0 & 1 & 0 & 0 \\ \end{pmatrix}$$

$$(3.29)$$

En les multipliant ensemble, on obtient

La comparaison de la partie rotationnelle avec la transformée de l'angle d'Euler R3 de T tion (2.51) montre que 04,05,06 peuvent bien être identifiés comme les angles d'Euler ϕ , θ et ψ par rapport au repère 03x3y3z3.

Exemple 3.4 Manipulateur cylindrique avec poignet sphérique

Supposons que nous attachons maintenant un poignet sphérique au manipulateur cylindrique de l'exemple 3.3.2 comme le montre la figure 3.9. A noter que l'axe de rotation de

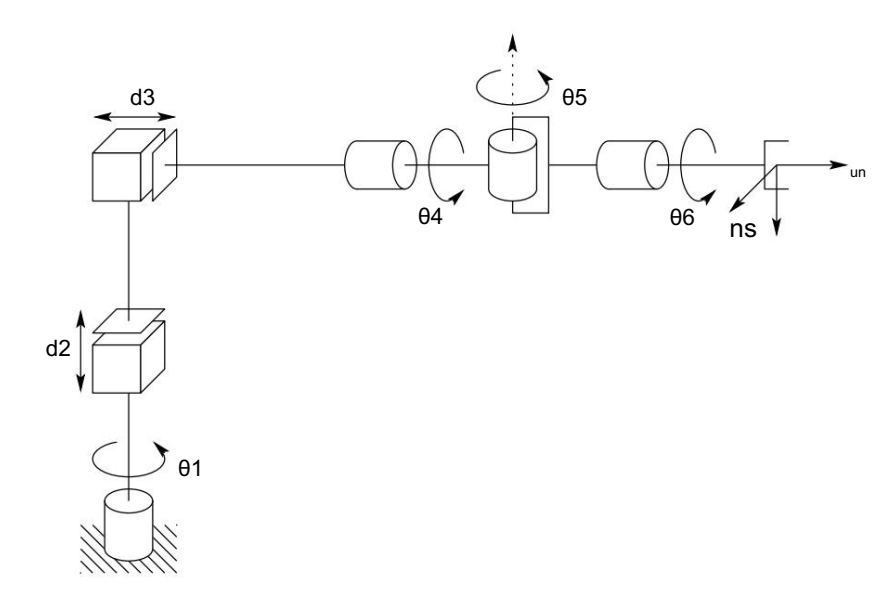


Figure 3.9 : Robot cylindrique avec poignet sphérique.

l'articulation 4 est parallèle à z2 et coïncide donc avec l'axe z3 de l'exemple 3.3.2. L'implication de ceci est que nous pouvons immédiatement combiner les deux expressions précédentes (3.28) et (3.32) pour dériver la cinématique avant comme

$$J_{6}^{0} = T \quad {}_{3}^{0}J_{6}^{3}$$
 (3.33)

 $^{\rm avec~T}~^{\rm 0}_{\rm 3}~$ donné par (3.28) et T $^{\rm 0}_{\rm 6}~$ donnée par (3.32). Par conséquent, la cinématique avant de ce manipulateur est décrite par

3.3. EXEMPLES 89

οù

```
r11 = c1c4c5c6 - c1s4s6 + s1s5c6

r21 = s1c4c5c6 - s1s4s6 - c1s5c6

r31 = -s4c5c6 - c4s6

r12 = -c1c4c5s6 - c1s4c6 - s1s5c6

r22 = -s1c4c5s6 - s1s4s6 + c1s5c6

r32 = s4c5c6 - c4c6

r13 = c1c4s5 - s1c5

r23 = s1c4s5 + c1c5

r33 = -s4s5

dx = c1c4s5d6 - s1c5d6 - s1d3 dy = s1c4s5d6 + c1c5d6 + c1d3 dz = -s4s5d6 + d1 + d2.
```

Remarquez comment la plus grande partie de la complexité de la cinématique avant pour ce manipulateur résulte de l'orientation de l'effecteur tandis que l'expression de la position du bras de (3.28) est assez simple. L'hypothèse de poignet sphérique simplifie non seulement la dérivation de la cinématique avant ici, mais simplifiera également considérablement le problème de cinématique inverse dans le chapitre suivant.

Exemple 3.5 Manipulateur de Stanford

Considérons maintenant le manipulateur de Stanford illustré à la figure 3.10. Ce manipulateur est un exemple de manipulateur sphérique (RRP) avec un poignet sphérique. Ce manipulateur a un décalage dans l'articulation de l'épaule qui complique légèrement les problèmes de cinématique directe et inverse.

Nous établissons d'abord les cadres de coordonnées conjoints en utilisant la convention DH comme indiqué. Les paramètres de liaison sont indiqués dans le Tableau 3.4.

Il est simple de calculer les matrices Ai comme

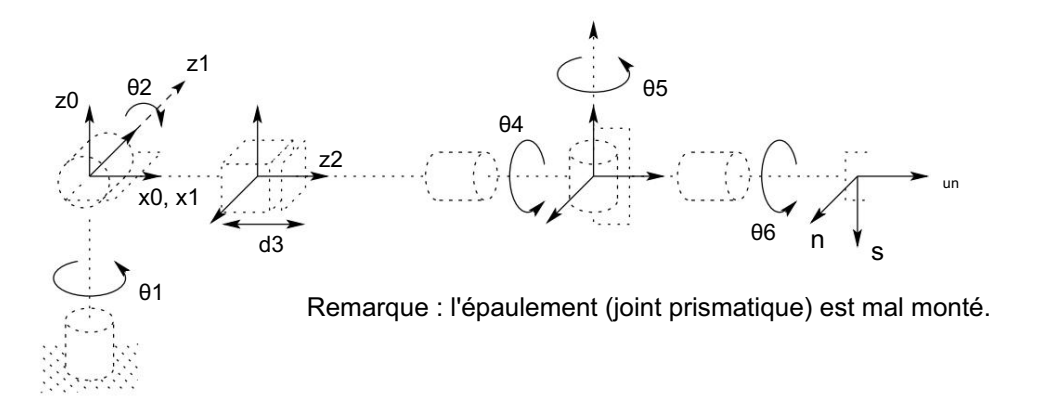


Figure 3.10 : Affectation du cadre de coordonnées DH pour le manipulateur de Stanford.

Tableau 3.4 : Paramètres DH pour le manipulateur de Stanford.

Lien	di ai d	αί θί	0 0 -9	0
1		d2 0	+90	
2		0 0		
3			0	
4	0 0	-90		
500) +90	6	d6 0 0	

variable conjointe

A2 =
$$\begin{array}{c} c2 \ 0 \ s2 \ 0 \ s2 \ 0 \\ -c2 \ 0 \ 0 \ d2 \ 0 \ 1 \ 0 \\ 0 \ 0 \\ \end{array}$$
 (3.36)
$$A3 = \begin{array}{c} 1 \ 0 \ 0 \ 0 \\ 0 \ 1 \ 0 \ 0 \\ 0 \ 0 \ 1 \ d3 \\ 0 \ 0 \ 0 \ 1 \\ \end{array}$$
 (3.37)
$$\begin{array}{c} 0 \ 0 \ 1 \ d3 \\ 0 \ 0 \ 0 \ 1 \\ \end{array}$$
 (3.38)
$$\begin{array}{c} c4 \ 0 \ -s4 \ 0 \ s4 \ 0 \\ 0 \ 0 \ 0 \ 1 \end{array}$$

3.3. EXEMPLES 91

$$A5 = \begin{array}{c} c5 \ 0 \ s5 \ 0 \ s5 \ 0 \\ -c5 \ 0 \ 0 \ -1 \ 0 \ 0 \ 0 \\ 0 \ 0 \ 1 \end{array}$$
 (3.39)

A6 =
$$\begin{array}{c} c6 - s6 \ 0 \ 0 \ c6 \ 0 \\ s6 \ 0 \ 0 \ 1 \ d6 \\ 0 \ 0 \ 0 \ 1 \\ 0 \end{array}$$
 (3.40)

 $J_{\,6}^{\,\,0}$ est alors donnée comme

$$J_{6}^{0} = A1 \cdot \cdot \cdot A6$$

$$r11 \ r12 \ r13 \ dx \ r21$$

$$= r22 \ r23 \ dy \ r31 \ r32$$

$$r33 \ dz \ 0 \ 0 \ 0 \ 1$$
(3.42)

οù

R11 = C1 [C2 (C4C5C6 - S4S6) - S2S5C6] - D2 (S4C5C6 + C4S6) R21 = S1 [C2 (C4C5C6 - S4S6) - S2S5C6] + C1 (S4C5C6 + C4S6) R31 c2s5c6 r12 =
$$c1[-c2(c4c5s6 + s4c6) + s2s5s6] - s1(-s4c5s6 + c4c6) r22 = -s1[-c2(c4c5s6 + s4c6) + s2s5s6] + c1(-s4c5s6 + c4c6) r32 = s2(c4c5s6 + s4c6) + c2s5s6 (3.43) r13 = c1(c2c4s5 + s2c5) - s1s4s5 r23 = s1(c2c4s5 + s2c5) + c1s4s5$$

$$r33 = -s2c4s5 + c2c5$$

$$dx = c1s2d3 - s1d2 + +d6(c1c2c4s5 + c1c5s2 - s1s4s5) dy$$

$$= s1s2d3 + c1d2 + d6(c1s4s5 + c2c4s1s5 + c5s1s2) dz = c2d3 + d6(c2c5 - c4s2s5).$$
(3.44)

Exemple 3.6 Manipulateur SCARA

Comme autre exemple de la procédure générale, considérons le manipulateur SCARA de la Figure 3.11. Ce manipulateur, qui est une abstraction du robot AdeptOne de la figure 1.11, est constitué d'un bras RRP et d'un poignet à un degré de liberté, dont le mouvement est un roulis autour de l'axe vertical. La première

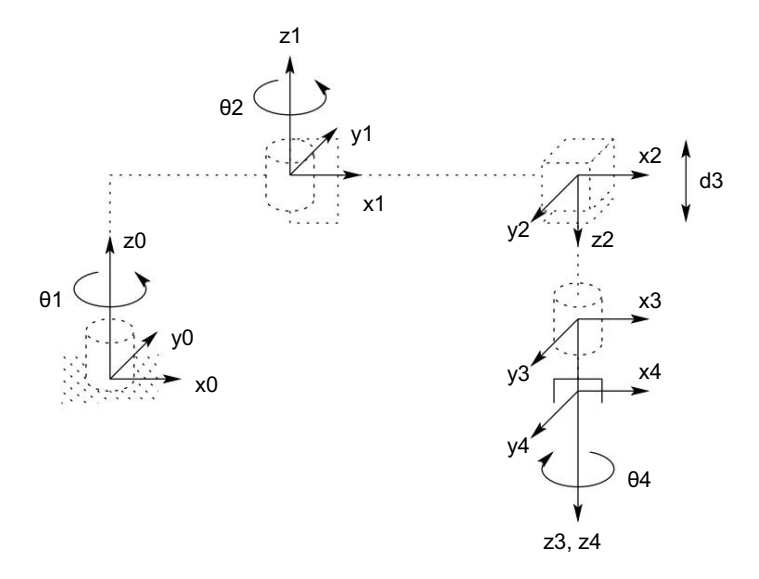


Figure 3.11 : Affectation du cadre de coordonnées DH pour le manipulateur SCARA.

Tableau 3.5: Paramètres articulaires pour SCARA.

Lien ai αi di θi a1 0 0				
1	a2 180 0			
2	0	0		
3	0			
4	0	0 d4		

variable conjointe

L'étape consiste à localiser et à étiqueter les axes des articulations comme indiqué. Puisque tous les axes des articulations sont parallèles, nous avons une certaine liberté dans le placement des origines. Les origines sont placées comme indiqué pour plus de commodité. Nous établissons l' axe x0 dans le plan de la page comme indiqué. Ceci est complètement arbitraire et n'affecte que la configuration zéro du manipulateur, c'est-à-dire la position du manipulateur lorsque $\theta 1 = 0$.

Les paramètres de joint sont donnés dans le tableau 3.5, et les matrices A sont comme

3.3. EXEMPLES 93

suit.

 $A3 = \begin{cases} 1000 \\ 0100 \\ 001d300 \\ 01 \end{cases}$ (3.47)

$$A4 = \begin{array}{c} c4 - s4 \ 0 \ 0 \ s4 \\ c4 \ 0 \ 0 \ 0 \ 1 \ d4 \\ 0 \ 0 \ 0 \ 1 \end{array} \qquad (3.48)$$

Les équations cinématiques directes sont donc données par

$$J_{4}^{0} = A1 \cdot \cdot \cdot \cdot A4 = \begin{cases} c12c4 + s12s4 - c12s4 + s12c4 & 0 & a1c1 + a2c12 \\ s12c4 - c12s4 - s12s4 - c12c4 & 0 & a1s1 + a2s12 \\ 0 & 0 & (3.49). -1 -d3 \\ 0 & 0 & -d4 & 0 & 1 \end{cases}$$

3.4 Problèmes

- 1. Vérifiez l'énoncé après l'équation (3.18) que la matrice de rotation R a la forme (3.16) à condition que les hypothèses DH1 et DH2 soient satisfaites.
- 2. Considérez le manipulateur planaire à trois liaisons illustré à la figure 3.12. Dériver

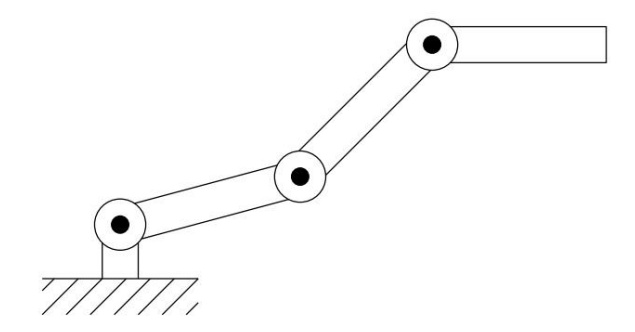


Figure 3.12 : Bras planaire à trois liaisons du problème 3-2.

les équations cinématiques directes en utilisant la convention DH.

3. Considérez le manipulateur cartésien à deux liens de la figure 3.13. Dériver

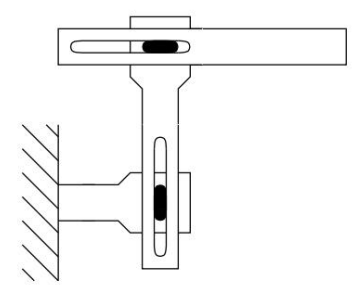


Figure 3.13 : Robot cartésien à deux liens du problème 3-3.

les équations cinématiques directes en utilisant la convention DH.

- 4. Considérez le manipulateur à deux liaisons de la figure 3.14 qui a l'articulation 1 révolutée et l'articulation 2 prismatique. Dérivez les équations cinématiques directes en utilisant la convention DH.
- 5. Considérez le manipulateur planaire à trois liaisons de la Figure 3.15 Dérivez équations cinématiques directes en utilisant la convention DH.

3.4. PROBLÈMES 95

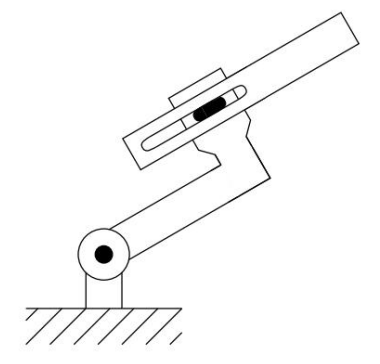


Figure 3.14 : Bras planaire à deux liaisons du problème 3-4.

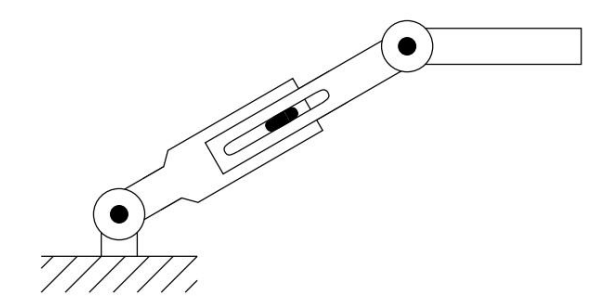


Figure 3.15 : Bras planaire à trois liaisons avec articulation prismatique du problème 3-5.

- 6. Considérez le robot articulé à trois bras de la figure 3.16. Dérivez le équations cinématiques directes en utilisant la convention DH.
- 7. Considérez le manipulateur cartésien à trois liens de la figure 3.17. Dérivez les équations cinématiques directes en utilisant la convention DH.
- 8. Fixez un poignet sphérique au manipulateur articulé à trois bras du problème 3-6, comme illustré à la figure 3.18. Dérivez les équations cinématiques directes pour ce manipulateur.
- Fixez un poignet sphérique au manipulateur cartésien à trois maillons du problème 3-7, comme illustré à la figure 3.19. Dérivez les équations cinématiques directes pour ce manipulateur.
- 10. Considérez le manipulateur PUMA 260 illustré à la Figure 3.20. Dérivez l'ensemble complet des équations cinématiques directes, en établissant des cadres de coordonnées DH appropriés, en construisant un tableau des paramètres de liaison, en formant les matrices A, etc.

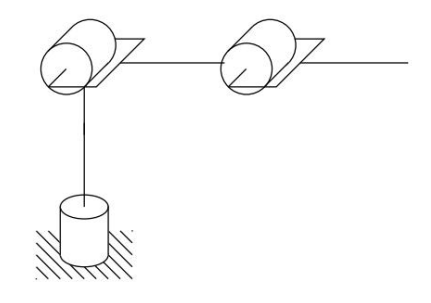


Figure 3.16: Robot articulé à trois bras.

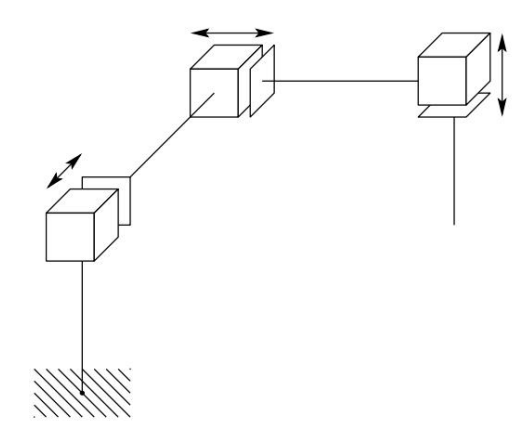


Figure 3.17 : Robot cartésien à trois maillons.

- 11. Répétez le problème 3-9 pour le robot Rhino XR-3 à cinq degrés de liberté illustré à la figure 3.21. (Remarque : vous devez remplacer le poignet Rhino par le poignet sphérique.)
- 12. Supposons qu'un Rhino XR-3 est boulonné à une table sur laquelle un cadre de coordonnées osxsyszs est établi, comme illustré à la Figure 3.22. (Le référentiel osxsyxzs est souvent appelé référentiel de station.) Étant donné le référentiel de base que vous avez établi au problème 3-11, trouvez la transformation homogène T s reliant le référentiel de base au référentiel de station. Trouvez la relation entre le la transformation homogène T s le repère 5 cadre de l'effecteur final et de la station. Quelle est la position et l'orientation de l'effecteur terminal dans le cadre de la station lorsque θ1 = θ2 = · · · = θ5 = 0 ?
- 13. Considérez le robot GMF S-400 illustré à la figure 3.23. Dessinez la représentation symbolique de ce manipulateur. Établissez des cadres de coordonnées DH et écrivez les équations cinématiques directes.

3.4. PROBLÈMES 97

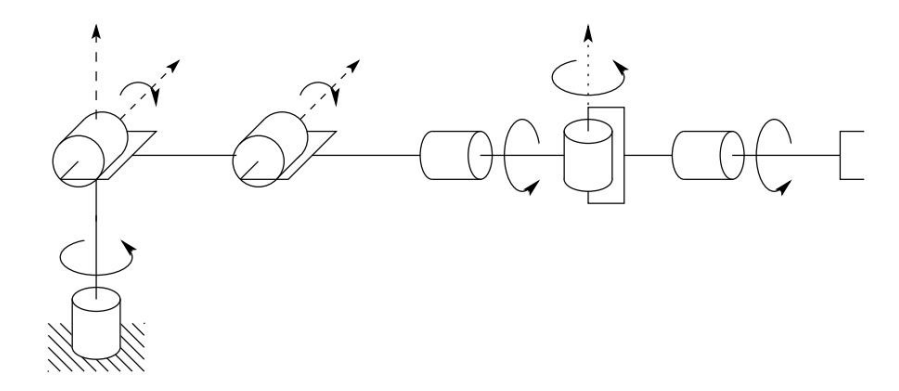


Figure 3.18 : Manipulateur coudé avec poignet sphérique.

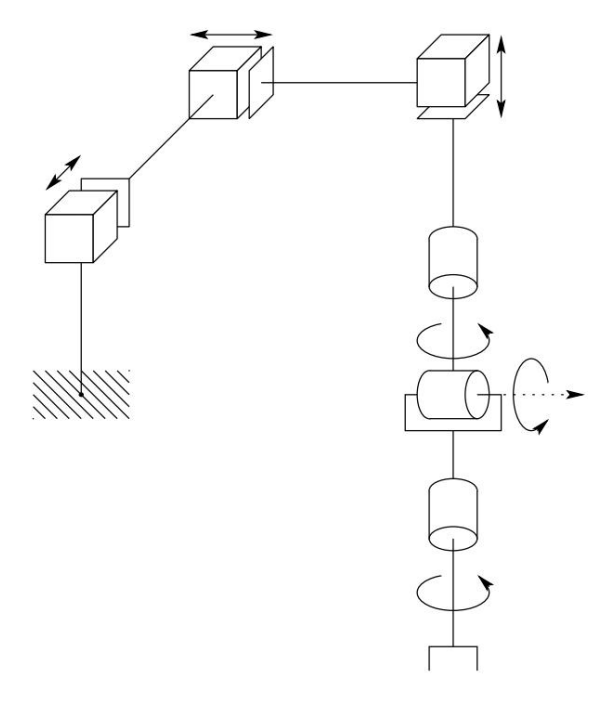


Figure 3.19 : Manipulateur cartésien à poignet sphérique.

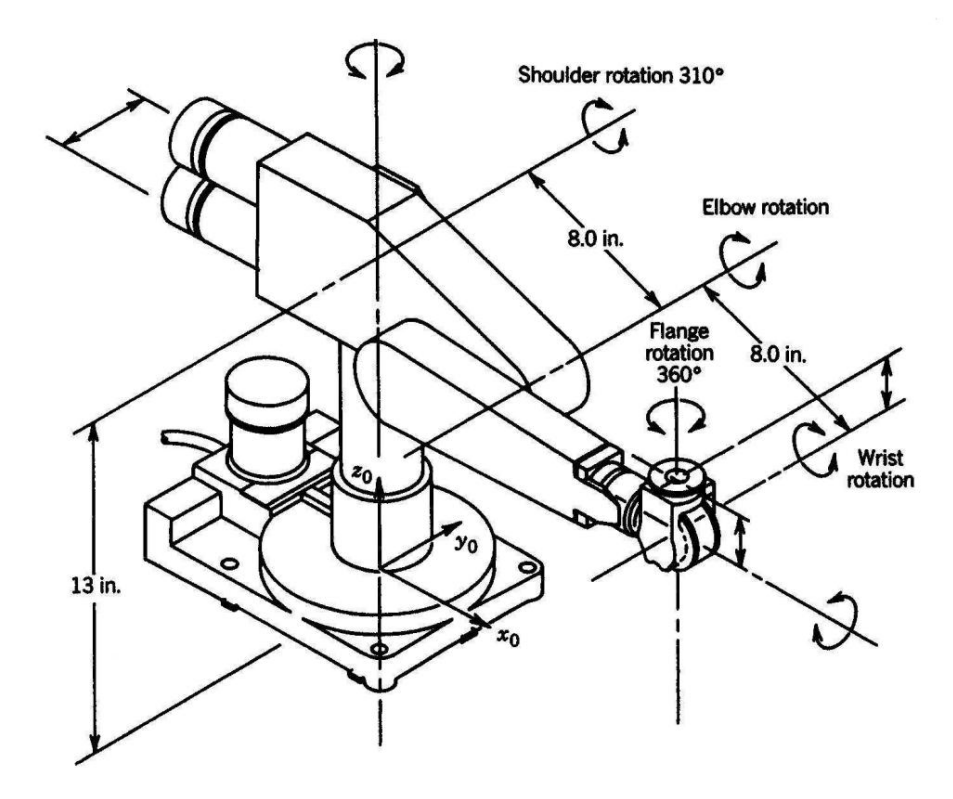


Figure 3.20 : Manipulateur PUMA 260.

3.4. PROBLÈMES 99

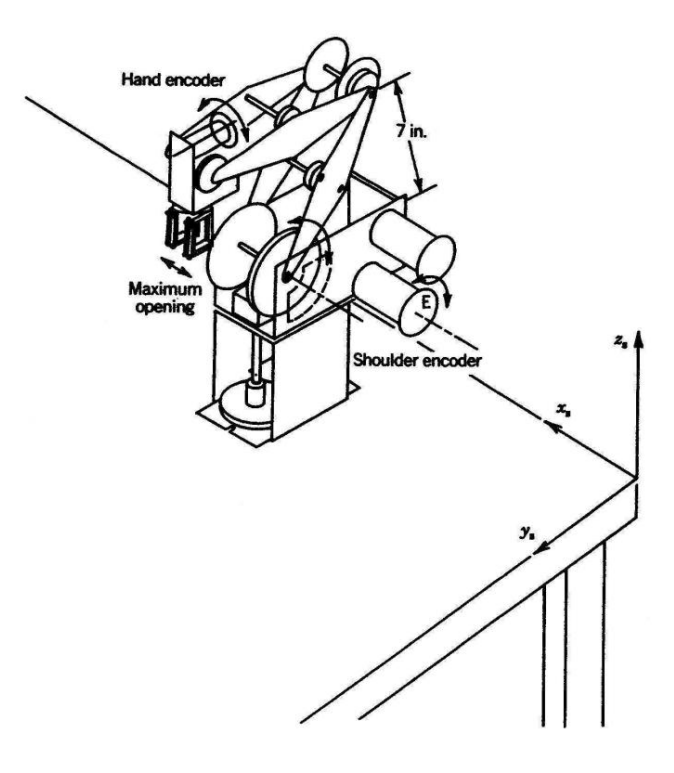


Figure 3.21 : Robot Rhino XR-3.

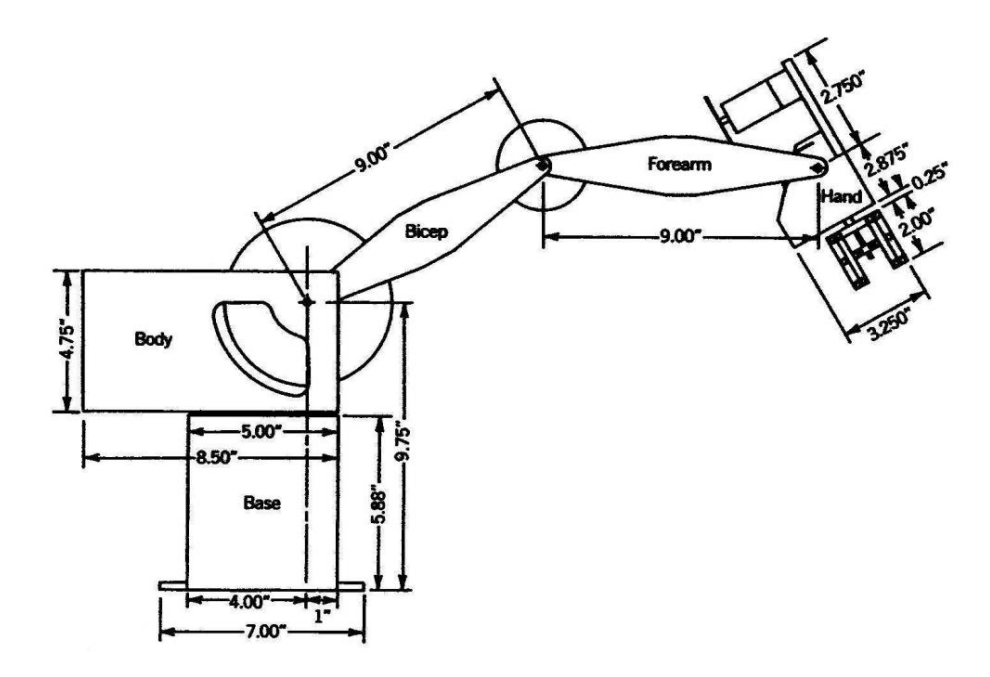


Figure 3.22 : Robot Rhino attaché à une table. De : A Robot Engineering Manuel, par Mohsen Shahinpoor. Copyright 1987, Harper & Row Publishers, Inc.

3.4. PROBLÈMES 101

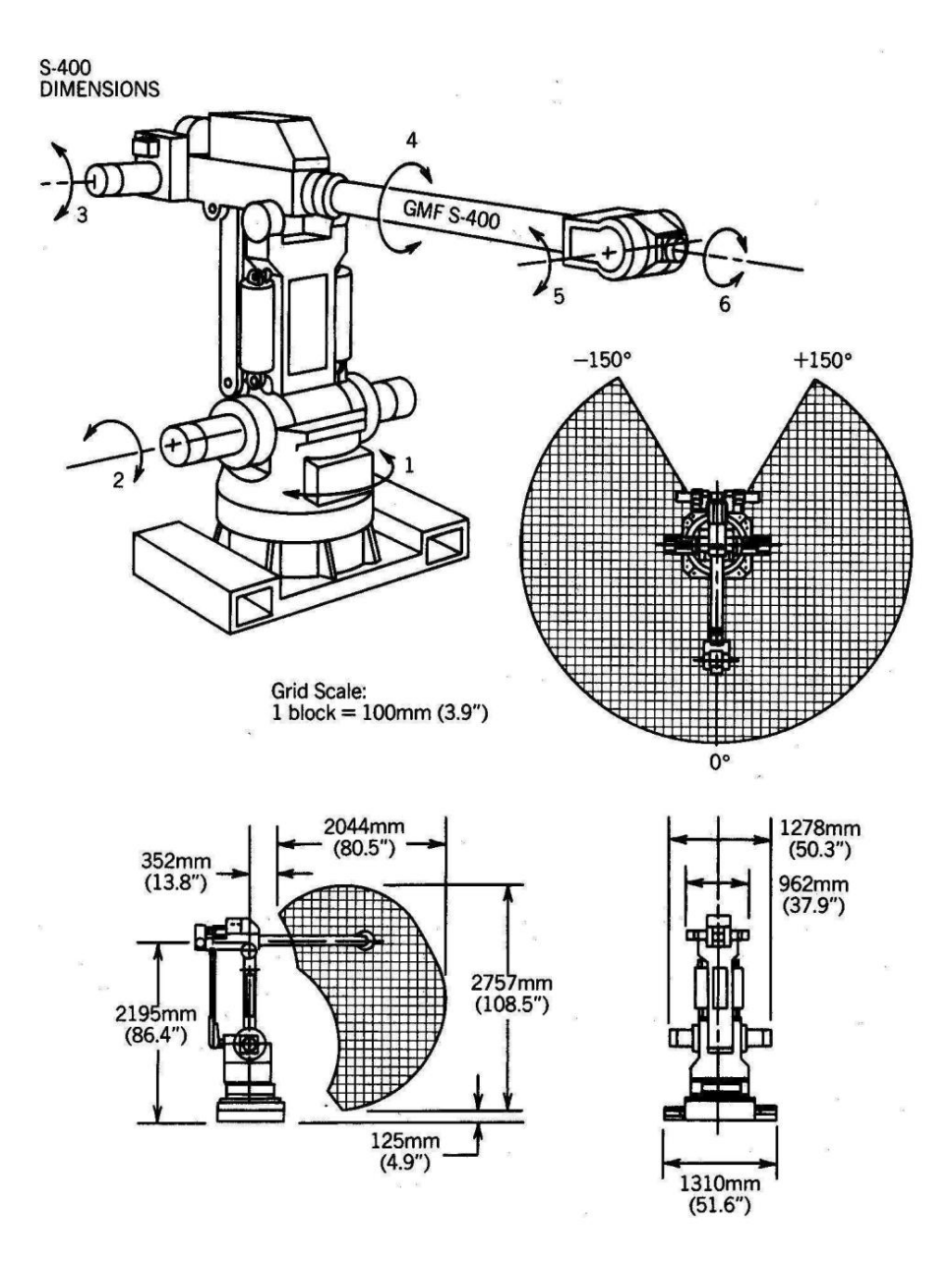


Figure 3.23 : Robot GMF S-400. (Avec l'aimable autorisation de GMF Robotics.)

Machine Translated by Google

102CHAPITRE 3. LA CINEMATIQUE DIRECTE : LA CONVENTION DE DENAVIT-HARTENBERG